



MICROFICHE N°

00900

République Tunisienne

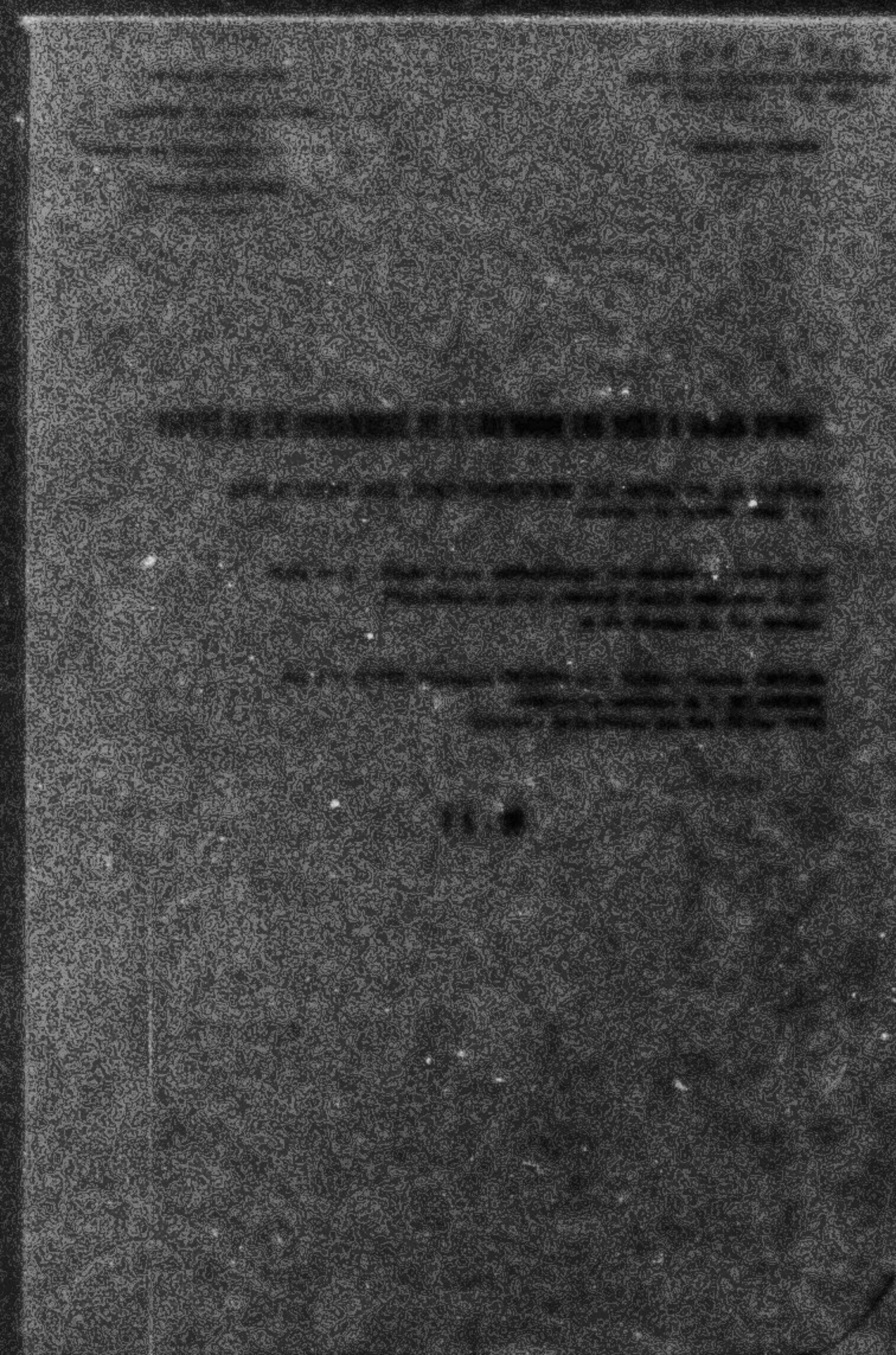
MINISTÈRE DE L'AGRICULTURE

CENTRE NATIONAL DE
DOCUMENTATION AGRICOLE
TUNIS

الجمهورية التونسية
وزارة الفلاحة

المركز الوطني
للتوصيات الفلاحية
تونس

F 1



ASSOCIATION DES MÉTIERS
ASSOCIATION DES MÉTIERS
ASSOCIATION DES MÉTIERS
ASSOCIATION DES MÉTIERS
ASSOCIATION DES MÉTIERS

OFFICE DE LA COOPÉRATION
ASSOCIATION DES MÉTIERS
ASSOCIATION DES MÉTIERS
ASSOCIATION DES MÉTIERS

ASSOCIATION DES MÉTIERS

LETTRE DE LA CONFÉRENCE DES MÉTIERS

VERS LES JEUNES ET JEUNESSE

- Application aux actes extérieurs du droit de la famille -
(Assassinat d'Yves - 1985 - Y.)

Point n° 2 : Suite à une attardation de quatre mois
sans motif dans le cas du potentiel d'expansionisme,
on devrait se poser la question de nos forces.

J.-P. LIVET, Président Directeur

et

J. SARTORI, Commissaire Directeur

collaboration technique Projets 1985-1986
laboratoires de la Direction des mali-

17 février 1985

Ensuite suite au programme de sondages effectués en 1973 sur les sols hydromorphes à pseudogley du Nord de la Tunisie (mentionné n°2), nous avons testé, sous une l'arête rocheuse, un modèle de télémètres destiné à recueillir des données pratiques pour la mise en place ultérieure d'un système de drainage en continu, sur le terrains, des paramètres suivants : p^r, f_{tr}. Finalement, nous avons d'une part basé sur le modèle différentes périodes d'extrusion et de doses du fil filtrant et d'autre part suivi par des enregistrements réguliers son évolution dans le temps. Le modèle est constitué par un mélange de sol fractionné en trois parties correspondant aux trois principales sortes d'un sol à pseudogley, qui ont été mis dans des bacs en céramique transparent et recouverts d'eau distillée.

3. - 1. S. 891.

nous avons opté sur un sol hydromorphe à pseudogley et gley de profondeur différente sur un matériau complexe composé de culturelle et/ou précauses séches laissez au filtre quelque emprise sur des argiles restées de cette façon et plus ou moins culturées. Ce type de sol est très représenté dans la région des Jauas (région tunisienne). Il s'agit du terme même de la conséquence de dégradation arénacée qui est caractéristique de l'exploitation de la roche et son remplacement par un sol :

Sol très sec

Sol très hydromorphe

Sol hydromorphe à pseudogley

Sol hydromorphe à gley de profondeur.

Les caractéristiques de ces sols sont liées à leur situation topographique de l'ordre du point ; terrasse peu ou pas marqué et hydromorphe accentué par accumulation de gley de profondeur.

Le tout se résumant par cette, à grande échelle géologique, le caractère fissile d'ensemble et la sécheresse de dénaturation sur la surface et sous le sol alluvial
fissile
lisse et hydrographique
hydromorphe à pseudogley

Les trois modalités prélevées correspondent aux horizons suivants du profil
220 - 0 : sol hydrocarbure à pseudogley et gley de profondeur sur colluvions argileux
présents

Nac N° 1 : horizon de surface A₁₁, A₁₂, à caill.,
(0-35 cm) moyennement humifère ; sains, texture
+ équilibrée et horizon A₂ p. gris
l'ecoul circule abîmement sur le
versant la nappe pluviale perchée
très temporaire : il est faiblement
apparue, mais surtout taillé par le
pseudogley dès 25 cm - texture équi-
librée.

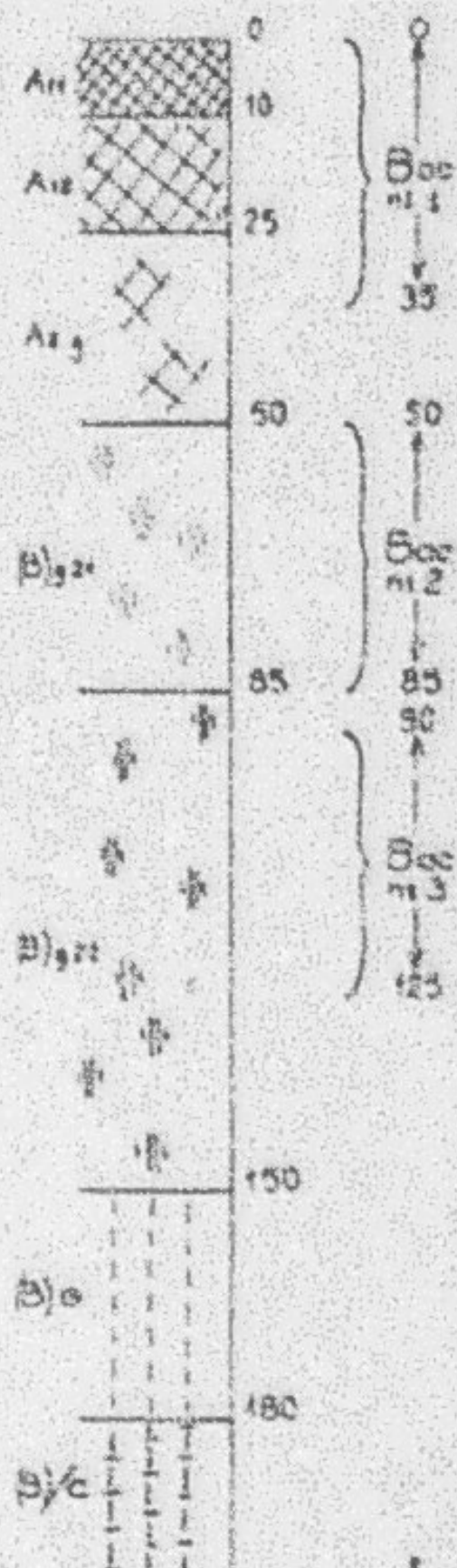
Nac N° 2 : horizon (1) : 21, hydrocarbure, taillé
(50 - 50) ocre et rouge, structure polyédrique
fine, porreux, argile caillouteux,
non enrichi en argile, la discontinuité
texturale étant due au matériau
original (colluvions super-
posés) ; il constitue le plancher
de la nappe perchée.

Nac N° 3 : horizon (1) : 22, très hydrocarbure,
(50 - 115) taillé rouge et gris, très argileux,
compact, rarement caillouteux ;
quelques blocs, structure plus lâche,
vertique en profondeur, très peu
porreux.

110 - 220 : horizon (2) C, gris, grétilié, très
argileux, filament vertique, porosité
très faible.

* 220 : horizon (2) C, olive et gris, de
passage à l'argile glaciique.

Les principales caractéristiques analytiques du
sol sont recréées dans le tableau p. 3.



Page 12

卷之三

1960 1961 1962 1963 1964 1965 1966 1967 1968 1969

Digitized by srujanika@gmail.com

182 183 184 185 186 187 188 189 190 191

卷之三

0.35 0.53 0.59 0.37 1.35 -2.02 1.03 0.58

ANSWER

2.3 30.6 8.0

1000

10. The following table shows the number of hours worked by each employee in a company.

卷之三

3.37 0.24 2.74

II. - DISPOSITIFS D'EXPÉRIMENTATION

II.1. - Les gaz

Il y a deux sortes d'expérimentation : le CO_2 qui peut être en forme gazeuse et sous forme liquide dans un réservoir à 100 bar et 20°C ; et le N_2 qui est sous forme gazeuse dans un réservoir à 100 bar et 20°C. Ces deux types peuvent être utilisés de deux façons : soit par pulvérisation dans l'eau ou dans l'air, soit par diffusion dans l'eau ou dans l'air.

II.2. - Les électrodes

Il y a deux sortes d'électrodes :

a) à l'écoulement du liquide

Elles sont toutes deux fabriquées dans un tube de fer ou de PVC ; pour rappeler à l'électrode d'hydrogène, cette électrode est entourée d'un matériau de type caoutchouc qui est en contact avec le sol par un tube de verre aussi à une extrémité d'une filet tissée et maintenue par l'ajout d'éléments de cuivre émaillés : ce tube est raccordé à un récipient de PVC rempli, également au chargé et dans l'autre bulle l'électrode de référence.

Il y a également une autre sorte d'électrode faisant les mêmes fonctions que la dernière mais de dimension, celle d'un élément ou interrupteur électrique qui fournit la tension d'alimentation. La tension intérieure diffère en fonction de la solution de PVC (électrode sol par exemple).

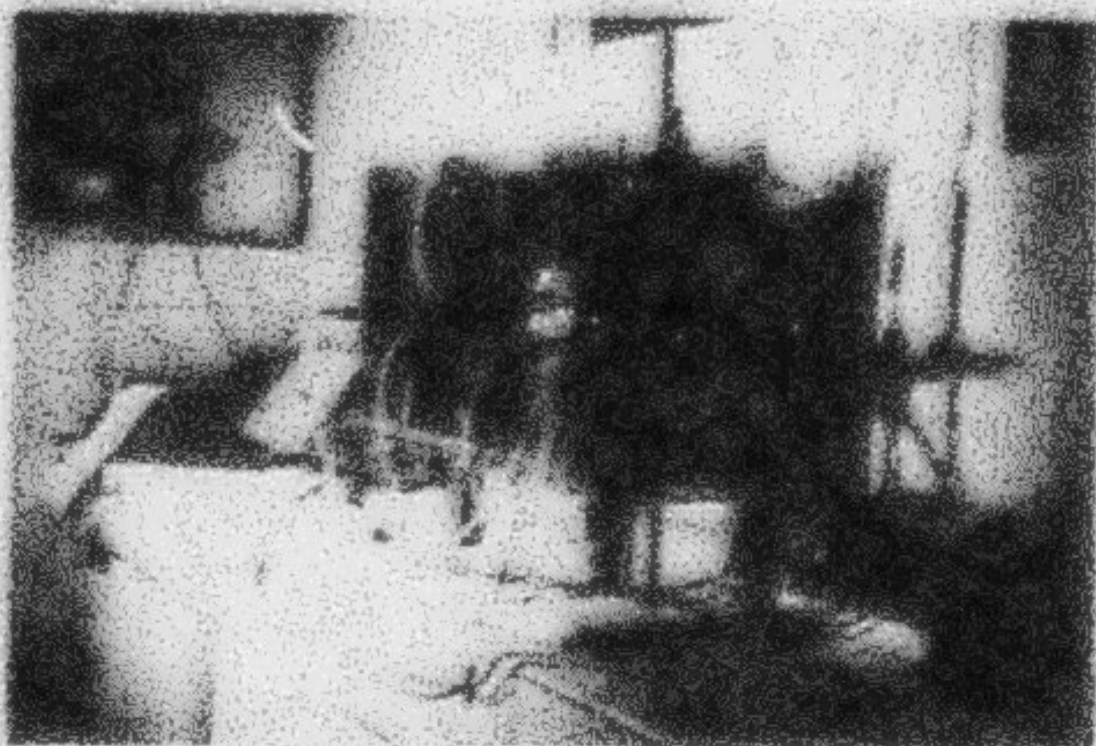
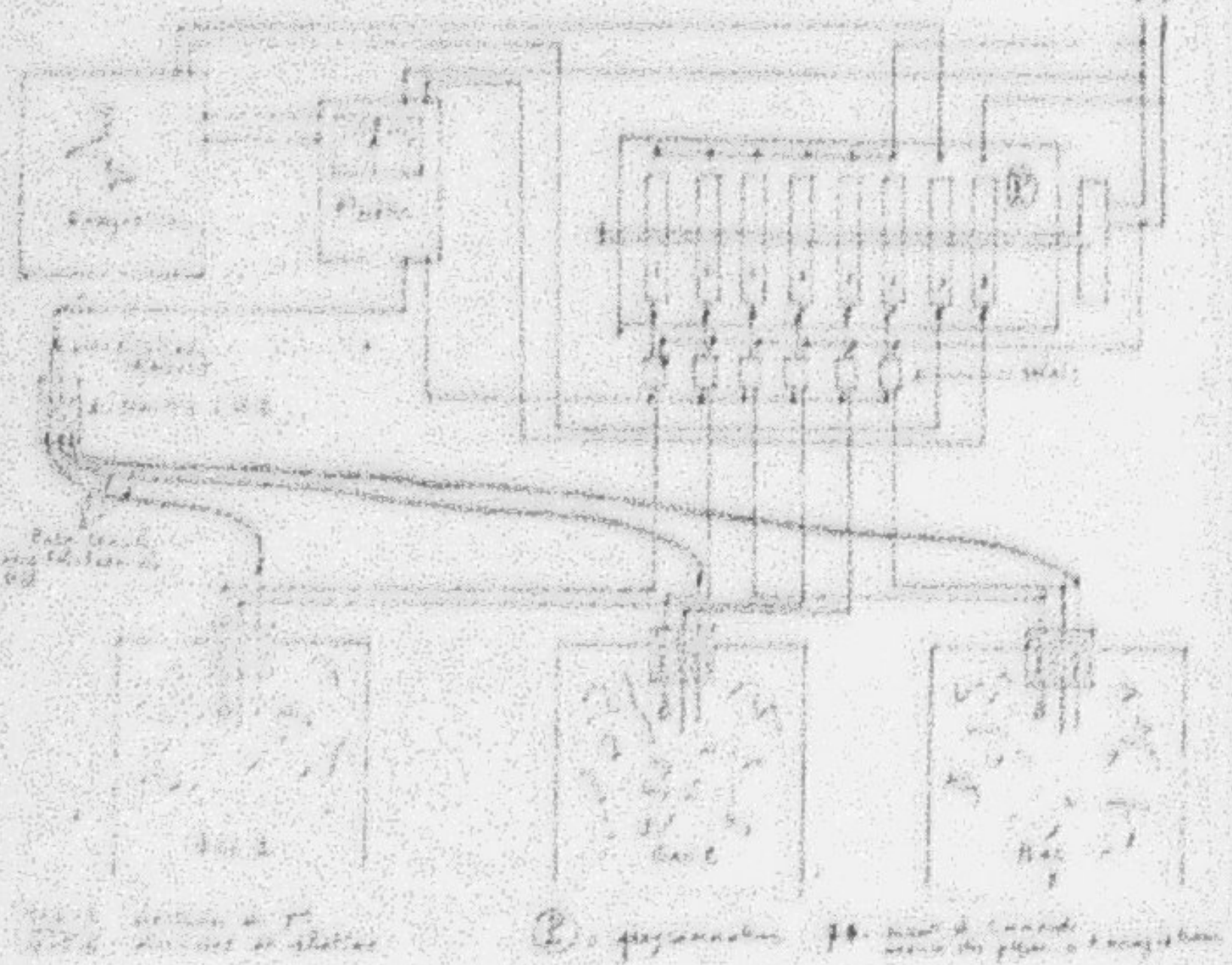


Fig. 1 : Une chambre de dispositif



c) L'électrode de mesure du potentiel redox

Elle consiste en un fil de platine de 1 mm de diamètre, longueur 20 mm, parfaitement poli avec de la terre d'infusoires ; le fil est fixé par soudure à l'extrémité d'un tube de verre, l'étanchéité de la jonction avec le verre est parfaite avec une couche d'araldite. A l'intérieur du tube la liaison électrique est faite par l'intermédiaire de mercure.

La vérification de la réponse de l'électrode a été faite en mesurant le Eh dans une solution étalon de fer(II)/ferrocyanure de potassium (taux de "chiratia" = 428 mV^(*)).

II.3. - Le système d'enregistrement

Du fait de l'utilisation d'une électrode de verre dont la résistance intérieure est supérieure ou égale à 100 MΩ, on est obligé d'avoir recours à un amplificateur/adaptateur d'impédance ; dans notre cas nous utilisons un pH/mètre type portatif, avec zéro central et mesurant - 700/+700 mV, avec une sortie pour enregistreur de 10 ΉΩ.

Les pH et les Eh sont lire en mV. Ce type de montage est très satisfaisant sur le plan des mesures qui se font pratiquement sans débit électrique au niveau des électrodes (pas de polarisation pour l'électrode Eh).

Ce même montage permet ultérieurement d'utiliser des électrodes ioniques spécifiques (Na^+ , SO_4^{2-} , Ca^{++}).

- Les 3 postes d'électrodes installés sont "interrogés" 3 minutes toutes les heures. Cette interruption est faite par un programmeur CROZET, type 221-1.

- Les mesures sont inscrites sur un enregistreur à zéro central ± 500 mV, défillement du papier 1mm/minute. Pour économiser le papier, l'enregistreur ne se met en service qu'au moment des mesures.

Le repérage est ainsi, l'interrogation se faisant toujours dans le même ordre : pH 1, pH 2, pH 3, puis Eh 1, Eh 2, Eh 3.

- D'autre part, un contact est prévu pour relier régulièrement le pH-mètre à une valeur de f.f.m., ce qui permet de vérifier la valeur du zéro de l'appareil.

L'ensemble du matériel fonctionne en autonomie, sur batterie de 12 volts.

Les contacts de liaison entre les électrodes et l'amplificateur sont faits par l'intermédiaire de relais à très bon isolement et très bons contacts. Ces relais sont commandés successivement par le programmeur (fig.2).

(*) Les mesures de f.f.m. sont toutes exprimées par rapport à l'électrode d'hydrogène.

III. - LES MÉTHODES

Dans le but de connaître la valeur des mesures enregistrées et la comportement des capteurs, nous avons périodiquement fait faire au fil du déroulement suivante pendant 5 mois :

- Pénétration du filonion : en surface, en profondeur, et aux différentes couches, pour dosage du fer ferreux
- Ouverture des trous 1 - 2 - 3 (le trou 3 étant occupé par le groupe des électrodes) et mesure du pH et du potentiel initiallement du système d'antiréaction ; également périodique de petites fractions de sol pour dosage du fer ferreux total et, du fer ferreux extraitable à l'acétate d'ammonium 0,25 N à pH 1,4 (résultats indiqués en annexe).

IV. - LES RÉSULTATS

Ils sont consignés par nous dans les tableaux figurant p. X, Y et Z. Nous les avons résumés dans le tableau des moyennes ci-dessous qui fait apparaître le sens de la variation, des différences attendues.

Noc	Etat initial	pH	pH en sol au bout de		pH en sol dans le liquide
			sol	liquide	
1	+100 → +50	6,4 → 5,5/5,4	5 → 5,5	6,0 → 5,5/5,4	2000 → 2050
2	+650 → +500	5,3 → 3,0	3 → 3,0	1050 → 1050	1050 → 950
3	+500 → +240	4,5 → 3,9	2 → 3,9	1250 → 850 10000	1000 → 1000

Fig. 3 : Tableau résumé des résultats

IV.1. - Méthode de pH

a) Connexion des électrodes

Les électrodes d'antiréaction ne sont très vite déstabilisées ; après huit jours d'immersion à température dans le sol, les mesures deviennent erronées ; nous les avons remplacées par des électrodes de verre qui après cinq mois donnent des résultats corrects.

A l'arrêt de l'expérimentation l'électrode en place a été conservée dans un tampon de pH. Les indications sont correctes, avec cependant une légère incertitude de la précision, ce qui n'est pas gênant puisqu'elles sont enregistrées lentement.

b) Évaluation des résultats

Les différences observées au début de l'expérience entre les trois bancs sont caractéristiques de ce type de sol en place avec le pH diminué nettement de la surface à la profondeur (cf. résultats enregistrés p. 3).

BAC N° 3

Figure 7a montre l'évolution comparée des deux méthodes dans les deux dernières heures de la période de mesure. On voit que l'absorption est très faible au début de la mesure et augmente progressivement. Ces courbes sont très proches à l'origine, mais deviennent progressivement différentes à l'absorption croissante jusqu'à ce qu'à 16 h 30, soit une heure et demie après l'absorption initiale, leur différence atteigne son maximum. La différence est alors de 0,05 à 0,06 absorbance unit. Les deux méthodes sont donc assez différentes dans leur sensibilité à l'absorption croissante, mais elles sont assez proches dans leur sensibilité à l'absorption décroissante.

7.3. - RÉSULTATS DES EXPÉRIENCES

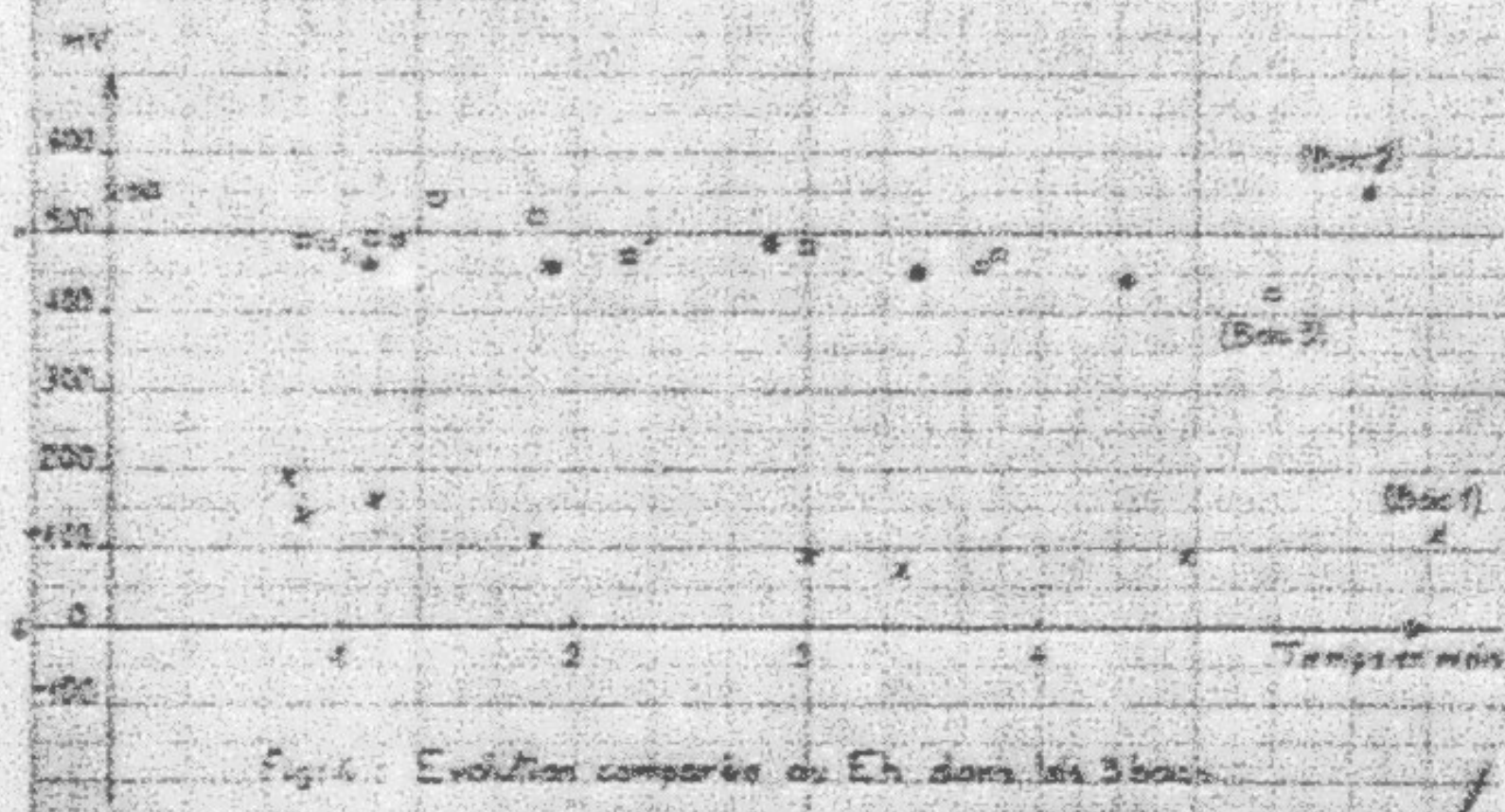
a) INFLUENCE DES TEMPERATURES

Les figures 8a et 8b montrent les résultats obtenus à l'absorption croissante et décroissante de l'acide chlorhydrique dans l'eau distillée à 20°C et 25°C. Les deux courbes sont très proches.

À 16 h 30, à l'absorption croissante, l'absorbance passe à moins 0,05 absorbance unit dans le cas de 20°C et 0,05 absorbance unit dans le cas de 25°C. Lors de l'absorption décroissante, les différences sont moins marquées.

b) INFLUENCE DES CONCENTRATIONS

Si on considère le potentiel de l'électrode en eau pure, ou l'autre en considérant que cette différence reste constante entre les deux dernières périodes, on obtient que la chose de meilleure valeur pour la mesure pour les deux 2 et 3 méthodes sera l'absorption croissante ; elle est en effet très sensible pour la 2 et 3 méthodes. Dans le milieu liquide cette différence est en toute logique. Si alors deux électrodes ne sont pas possédées toutes les deux sensibles à la mesure, alors cette différence sur la sensibilité de la 2ème et les méthodes faites concurremment avec deux électrodes qui ne possèdent pas cette caractéristique, les méthodes concurremment faites sont égales.



80.3 - Résultat de l'effet des sols le sol.

II.3.1. - Résultat à l'effet des sols

Notre première tentative d'assiette par la méthode d'absorption (1) n'a pas été tout à fait aussi bonne que nous avions espéré, ce qui nous a poussé à utiliser la méthode (2), mais nous avons pu faire les mêmes répétitions que dans la partie précédente, grâce à l'assiette d'acrylique (2, méthode en annexe).

Nous avons réalisé une séparation à 25 g de sols de l'assiette d'acrylique et par 3,6 par l'assiette acrylique. Après de nombreuses essais sur le sol en place, nous avons obtenu l'influence de divers facteurs sur l'assiette :

1) Influence du pH de la solution d'absorption (2) et de sol dans 100 g d'assiette (fig. 5)

Les effets observés pour le sol sont les suivants :
sont en rapport avec le taux de pH décrété
sensiblement diminués avec l'augmentation du pH.
Un point intéressant est que pour un pH de 3,6 nous avons obtenu (2,9) et il n'y a pas de variation de nos résultats pour l'assiette en acrylique et l'assiette en plastique.

pH de l'assiette	Résultat en pH		
	pH 3,6	pH 3,4	pH 1
3,6 pH	36	35	6
3,4 pH	32	31	1,3
1 pH	66	10,3	1,5

fig. 5 : Influence du pH sur l'assiette pour le sol en place. Nous avons obtenu le pH 3,6 qui correspond à une bonne forme de disponibilité du fer ferrous.

II.3.2. - Résultat de l'effet de la dilution

Une autre caractéristique très importante du sol (15 % argile) que nous avons dans un sol en place n'est pas l'assiette d'acrylique pH 3,6 et le fer ferrous 100 g après l'effet de l'assiette. Les résultats sont donnés dans le tableau ci-dessous :

profondeur cm	pH en ppm effectué par addition d'acrylique		
	100 pH 3	100 pH 1	100 pH 1
5 cm	2,22	4,65	7,6
30 cm	5,1	8,3	9,5
60 cm	9,77	9,6	7,9
130 cm	2,23	6,2	-
180 cm	9,65	8	8

fig. 6 : Influence de la dilution sur l'assiette

Pour une pente constante, les valeurs de pH^{eff} devraient être proportionnelles au volume de la solution d'assiette : ce qui indique une très forte corrélation entre l'assiette et la solution d'assiette. Pour des raisons de commodité nous avons adopté 100 g de sol frais dans 100 ml d'assiette (ce qui rend la poche d'absorption tout entre 15 et 18 ml).

27. 3. - Tableau de la teneur en fer dans le sol

3.2.2. - Etude de l'effet de l'extinction

Autre paramètre important à considérer est la distance d'extinction. Il existe diverses méthodes qui sont très variées, en fonction de la technique utilisée. Nous avons choisi pour la méthode standard celle des 15 cm de hauteur, mais à l'extrême il existe des méthodes où la hauteur est de 10 cm.

Nous avons utilisé une distance de 15 cm de manière à pouvoir comparer à ce que l'on trouve dans la littérature. Les résultats montrent que si tout va bien, nous avons obtenu l'extinction de l'émission lorsque nous avons

3) Déterminer la teneur en solutant extrait 150 g de sol dans 100 ml d'eau distillée (fig. 5).

Les effets constants dans la relation entre teneur en fer dans le sol et teneur en fer extrait sont évidemment connus avec l'extinction de 15 cm. On peut néanmoins constater qu'il y a peu d'effet avec 15 cm si l'on extrait avec 10 cm. Cela dépend de la nature du sol et de l'extinction dans le solage. Nous avons choisi de 15 cm pour correspondre à nos travaux.

profil N.W.C	teneur en fer	%		
		15 cm	10 cm	10 cm
5 cm	14	14	14	14
10 cm	12	12	12	12
15 cm	10	10	10	10

Fig. 5 : Influence de la teneur en fer dans le sol sur l'extinction dans le solage. Nous avons choisi de 15 cm pour correspondre à nos travaux sur les propriétés de fer dans le sol.

3.3. Etude de l'influence de la dilution

Une petite quantité de fer (1% par exemple) ne fait pas faire un volume variable d'une solution d'extinction de 3,5 et de ses fractions dans après une h. d'extraction. Ces résultats sont donnés dans le tableau ci-dessous

profil N.W.C	Fe ⁺⁺ en ppm extrait par méthode d'extinction		
	150 ml	100 ml	50 ml
profondeur			
5 cm	2,78	4,63	7,2
10 cm	2,1	3,6	5,6
15 cm	2,77	3,2	5,3
20 cm	2,29	3,4	-
25 cm	3,44	2	4

Fig. 6 : Influence de la dilution sur l'extinction

Pour une prise constante, les valeurs de Fe⁺⁺ extraite sont nettement proportionnelles au volume de la solution d'extraction ; ce qui indique une dilution stricte du prélèvement : point d'importance condition pour ce volume donné de la solution d'extraction. Pour des raisons de contrôles nous avons adopté 10 g de sol fraîchement prélevé (ce qui rend la poids d'échantillon soit entre 15 et 18 g).

c) Influence du temps d'extraction (fig. 7)

Temps d'extraction (h)	12 h	130 h	164 h	216 h	212 h	260 h
SI cm	768 ppm	815	857	888	933	893
15	105	113,8	118	125,2	129,5	118
30	37	43	47	71	78	76
70	30	34	30	93	101	107
100	69	65	91	93,2	97,2	96
180	20,4	32,4	38,3	46	39	36
220	76,5	16	11,3	11,8	17,8	16

fig. 7 / Influence du temps d'extraction.

L'extraction du fer ferroxyde est assez lente. Après plusieurs essais effectués, il apparaît qu'il extrait le fer oxydable quasi parfaitement au bout de 100 heures environ, mais l'absorption peut en faire de moins bonnes pour certaines compositions (1).

Pendant ces longs temps d'extraction, on pourrait considérer une possibilité de transformation du fer ferroxyde ; pour vérifier cela, nous avons étudié des préparations de soleil suivie d'une 200 heures d'extraction, suivie à stabilisation du taux de fer extrait, et nous les avons comparées avec une solution de fer ferrique (3%) + de Fe²⁺, pas filtrée et aussi de faire ce jour le taux de fer ferroxyde qui n'a pas varié après une telle durée (cf. tableau ci-dessous, fig. 8).

Référence	ppm Fe ²⁺ à stabilisation	ppm oxydation au bout de 5 jours
1	2,56	2,56
2	6,8	7,5
3	4,9	5,3
4	20,2	21,5

fig. 8 : Comparaison d'une oxydation de Fe²⁺

d) Conditions optimales

Nous avons adopté les conditions d'extraction suivantes :

- 20 g. de fer ferroxyde dans 100 ml d'eau distillée à pH 7,6
- 212 heures d'extraction à 3° avec le tamis
- une agitation.

Il est difficile de dire si l'agitation est complète, mais la représentativité des résultats est bonne et laisse à penser que la méthode est valable, au tout près dans une relation proportionnelle à la stabilité.

c) Influence du temps d'extraction (fig. 7)

Temps d'extraction (h)	12 h	130 h	164 h	216 h	212 h	260 h
SI cm	768 ppm	815	857	888	933	893
15	105	113,8	118	125,2	129,5	118
30	37	43	47	71	78	76
70	30	34	30	93	101	107
100	69	65	91	93,2	97,2	96
180	20,4	32,4	38,3	46	39	36
220	76,5	16	11,3	11,8	17,8	16

fig. 7 / Influence du temps d'extraction.

L'extraction du fer ferroxyde est assez lente. Après plusieurs essais effectués, il apparaît qu'il extrait le fer oxydable quasi parfaitement au bout de 100 heures environ, mais l'absorption peut en faire de moins bonnes pour certaines compositions (1).

Pendant ces longs temps d'extraction, on pourrait considérer une possibilité de transformation du fer ferroxyde ; pour vérifier cela, nous avons étudié des préparations de soleil suivie d'une 200 heures d'extraction, suivie à stabilisation du taux de fer extrait, et nous les avons comparées avec une solution de fer ferrique (3%) + de Fe²⁺, pas filtrée et aussi de faire ce jour le taux de fer ferroxyde qui n'a pas varié après une telle durée (cf. tableau ci-dessous, fig. 8).

Référence	ppm Fe ²⁺ à stabilisation	ppm oxydation au bout de 5 jours
1	2,56	2,56
2	6,8	7,5
3	4,9	5,3
4	20,2	21,5

fig. 8 : Comparaison d'une oxydation de Fe²⁺

d) Conditions optimales

Nous avons adopté les conditions d'extraction suivantes :

- 20 g. de fer ferroxyde dans 100 ml d'eau distillée à pH 7,6
- 212 heures d'extraction à 3° avec le tamis
- une agitation.

Il est difficile de dire si l'agitation est complète, mais la représentativité des résultats est bonne et laisse à penser que la méthode est valable, au tout près dans une relation proportionnelle à la stabilité.

e) Résumé sur les résultats des bacs

Les résultats obtenus par la méthode à l'acétate suivent bien le phénomène d'engorgement dans ses manifestations forreuses : les chiffres sont régulièrement croissants avec le temps, même avec des taux extraits faibles. Avec la gencie d'extractifs que nous avons essayé, aussi bien chlorure d'aluminium qu'acétate d'ammonium, les taux de fer ferreux extraits sont faibles. Ceci pourrait être en relation avec la nature du fer ferreux dans ces sols à pseudogley.

Dans l'extraction à l'acétate d'ammonium, il pourrait s'agir d'une réaction d'échange qui déplacerait seulement un fer ferreux facilement extractible : des dosages cinétiques devraient permettre d'affiner les résultats de cette méthode.

f) Comparaison avec les résultats obtenus *in situ*

Par rapport aux valeurs obtenues dans les mêmes conditions opératoires sur le sol *in situ* par des prélevements effectués à la carrière au cours de l'année 75 les valeurs des bacs sont du même ordre de grandeur et comparables tout au moins au début de la période d'inversion (cf. fig. 10 ci-dessous et fig. 3, p. 7).

Fer ferreux exprimé en ppm (20 g de sol dans 100 cc d'acétate d'ammonium 0,25 N - pH 3,6 - Extraction 144 h. - dosage orthophénantroline).

date Horizon	17.3.75	30.4.75	5.6.75	25.6.75	22.7.75	10.10.75	7.11.75
A 0-30	1,11	2,49	3,62	3,18	5,15	3,01	4,80
(B) g21 30-80	4,02	6,39	3,05	6,76	4,28	16,85	7,58
(B) g22 80-140	1,13	4,84	3,00	3,96	4,49	15,91	2,31
(B)/C <140	0,1	3,17	0,71	0,33	0,25	1,04	0,95

fig. 10 : Résultats de Fe⁺⁺ dans sur le sol en place.

Surserons seulement ici que pratiquement dans tous les profils vertieux les valeurs tendent vers zéro en profondeur et que le fer ferreux extrait correspond bien à une évolution dans le sol lui-même, différenciant celui-ci du matériau qu'il recouvre, et dont les fluctuations dans le temps seront interprétées ultérieurement.

19. 1. 1. - Dessage du fer ferreux total

Nous avons entrepris ces dessages pour vérifier si l'absence ou l'existence entre le fer ferreux extrait par la méthode à l'acétate et le fer ferreux total existait dans le sol.

a) Méthode standard

Le dessage de fer ferreux ne peut qu'objecter lente au résultat assez difficile, il existe pour cela de très nombreuses méthodes variées et variées, le dessage devient très délicat lorsque, c'est le cas des sables, il faut extraire le fer ferreux : il existe plusieurs pour un dessage "vaste" les méthodes d'extraction sont toutefois violentes entraînant des risques très élevés d'oxydation alors complète, ou très partielle, ce qui est peut-être très gênant. Pour expliquer pourquoi il y a si peu de méthodes efficaces, celles qui existent abordent naturellement sous deux options : l'attaque et le dessage ce qui entraîne des manipulations créant surtout d'occasions d'oxydation.

Nous pensions : l'usage de l'hydrogène et des réducteurs de fer dans les sols à cette époque nécessitait de nombreux précautions d'hygiène, mais dans une certaine mesure, corrige la grande hétérogénéité et permet faire des déterminations "quantitatives" sur des sables rapides : c'est pour ce que nous pensons que le fer ferreux de formation récente peut être soumis à l'attaque, il fallait pourtant disposer d'une méthode présentant toute sécurité.

Ces considérations nous ont faites à appliquer, après quelques légères modifications, la méthode décrite par KAMMIE (il passe par l'oxydation du Fe²⁺ par le chlorure d'indie et libération proportionnelle d'indie).

L'originalité de cette technique réside dans le fait que les différentes opérations : mise en "solution" de l'échantillon, extraction du fer ferreux et dessage, se font simultanément dans le même milieu, à l'aide de l'acide (cf. annexe II).

- Résultats

Nous avons obtenu des résultats par les valeurs très élevées obtenues, impossibles à rapprocher des chiffres obtenus par l'extraction à l'acétate d'acéonium (cf. tableau des résultats p. 4 - 5 - 10).

Les valeurs étant systématiquement plus élevées pour le fer f. riche en matières organiques, il est certain que cette dernière (ce qui n'est pas prévisible), contribue à réduire le réactif à l'indie, conséquemment il ne faut pouvoir faire supposer les conclusions de certains auteurs. (1)

Cette méthode n'est donc pas spécifique du fer ferreux, mais c'est "peut-être réducteur" dans lequel est compris le fer, et pour lequel il faudrait établir la part de la matière organique : ce sont ces chiffres élevés qui sont pas expliqués par la seule présence de la matière organique.

On voit également qu'il n'y a pas d'effet de la densité. Il existe néanmoins une importante interaction entre densité et temps de séchage pour les variétés de blé dur et de maïs.

Cette interaction fait que dans le cas du maïs ce qui importe sont les variations de température.

Une autre variable très importante pour l'efficacité du séchage est la température finale atteinte au moment de l'échage à 1% (fig. 11), mais après séchage il faut prendre 15 ou 20 minutes avec les variétés blé dur. 111

Temp. °C	Temps min	Blé dur 110° C	Maïs 110° C	Réduction de 10° C
37	1932	1725	1465	9%
38	1652	1725	1345	11
39	1501	1725	1265	13
40	1372	1725	1165	15
41	1255	1725	1055	16
42	1146	1725	922	16
43	1046	1725	826	19%
44	2024	1725	-	15
45	1652	1725	1110	25%
46	7350	1725	5350	39%

Fig. 11 - Influence du temps de séchage après divers traitements préliminaires.

Le séchement était toujours fait par l'air sec de l'atmosphère dans un récipient placé dans la partie centrale, le "four" continu fonctionnant de manière continue à extraire du chaleur de séchage (temp. 9). Ceux tests à sécher, nous les avons effectués dans un four à air sec qui n'a pas le rôle de ce que l'on appelle : le rôle de la partie de four (fig. 10).

Tous ces résultats ont montré que le fait en 11 jours à 110° C, 10% de moisissure facile sur le maïs et seulement 1% pour les autres variétés de blé dur.

Notamment dans le cas du blé dur, à température constante (110° C), cette moisissure peut être éliminée complètement par un séchage suffisant : l'entreposage correct.

Et encore, les chiffres sont très flous, cependant ils restent néanmoins inférieurs à ceux de la méthode KARRELL, mais leur sont comparables pour les teneurs dans carbone oxydées (voir les tableaux, p. 1-8-9).

Une autre méthode plus satisfaisante vaudrait à vérifier les possibilités de neutralisation du fer ferrux pendant la phase d'attaque.

VI CONSTITUTION DU FER FERRUX (ET EXPERIENCE)

Ce qui est bien déchiffré par les deux méthodes, c'est que toutes deux donnent du fer ferrux ; ces taux pourraient être, je crois, selon P. REINHOLD¹ à ce fer ferrux prélevé entière dans les minéraux de fer et qui de ce fait ne serait pas nécessairement un processus d'hydroxylation, ce qui est également corrobéré par le fait que les taux extraites non une moins forte oxydation dans les conditions de l'expérience avec la durée de neutralisation que ceux de la méthode attaquée.

[De point de vue de la composition minéralogique, les auteurs étudient, différenciées sur des grès et argiles acides, sont constituées uniquement de quartz et d'argiles sans minéraux très ferrugineux : les principales analyses de ces grilles par diffraction des rayons X ont donné la composition suivante :

- Illite interstratifiée dolomate, qui n'est ni une illite-paragonite,
- ni une illite-montmorillonite, ni une illite verte ;
- Kaolinite ;
- Montmorillonite sur calcaire ;
- Argile.

Des analyses minéralogiques plus fines devraient permettre de préciser l'origine de cette "grande" de fer ferrux minéral].

Ces essais montrent les difficultés pour mettre au point une méthode certaienne ; on peut penser que la seule est donc l'utilisation de techniques élémentaires.

¹ Comme dans les notes

IV.4. - Dépôt du fer ferrugineux dans le liquide

Le dépôt ne présente pas de difficulté. Cependant, l'expérience a montré qu'il était important de faire des prélevements à différentes profondeurs, la concentration la plus élevée étant au fond du récipient et la différence avec la surface nécessaire plus étendue pour les bancs 2 et 3 que pour le banc 1 qui ne présente qu'une assez faible importance relative à l'oxydation.

Si on considère uniquement les résultats des prélevements effectués sur le liquide du préjudice qui sont les seuls où une variation significative plus ou moins accentuée en fonction de l'expérience traduit des variations, (le liquide étant sensibilisé à chaque variation du banc), on constate que les quantités de Fe²⁺ dans ces deux cas sont nettement prépondérantes au cours de l'oxydation dans les trois bancs.

CONCLUSION

Ce travail nous a permis de sélectionner le matériau le plus adapté à des méthodes élémentaires qui seront adaptées aux sols ferrugineux.

Les résultats obtenus sont peu nombreux, mais ils n'établissent pas encore un principe général, néanmoins, ils fixent des ordres de grandeurs, désignant les valeurs qui devront être atteintes, et une partie du travail au point des techniques de dépôt. Les différentes méthodes d'extraction du fer ferrugineux sont employées essentiellement aux différents types de sols hydrocarburés en vue de caractériser par des critères analytiques l'intensité des processus d'oxydation dans les sols ferrugineux de la Tunisie septentrionale.

BIBLIOGRAPHIE

- 1 - G. BERNARD - 1974.
Rapid determination of ferric iron in silicate rocks and minerals by iodine monochloride.
Anal. Chem., Vol. 46 N° 6, Mai, p. 181.
- 2 - G. B. BRIGHAM - 1978.
Volatilistic determination of ferric ion by means of potassium iodide.
J. Am. Chem. Soc., 50-1887.
- 3 - G. B. BRIGHAM - 1976.
Volatilistic titration methods.
Chemical Catalog Co., Inc., NEW YORK.
- 4 - R.P.S. BRIDGER - 1969.
Analyst (London) 94, 1969 pp. 155 - 161.
- 5 - VIALAT TITRATION, FOLLOWING THE MODIFIED COLD ACID DECOMPOSITION OF
IRON (PAP. NO. 60, SEC. 6.11).
(Laboratoire de Hydrométrie, Paris, R. PAP.)
- 6 - R.B. RICHARD - 1960.
Techniques in analytical geochemistry : (2) Determination of the ferrous
iron contents of carbonaceous shales.
Journal of Analytical Geochemistry, vol. 3 N° 4, pp. 603-612.
- 7 - J.P. VILLER - 1974.
Corrélation à l'étude des phénomènes d'hydroxylation. Relation de rela-
tions correspondances existant entre un type de classeur de sols hydro-
xylates peu fondants au Tchad (1^{er}, 2^{er} et 3^{er} parties).
Cahiers Agricres - Médiologie, Vol. 223 N° 2 - 316.
- 8 - Pennington et al - 1973.
Estimation of precipitation & soil pH of the U.S. Soil Test Set.
- 9 - MONTET P. J. and PENNINGTON J. F. - 1962.
Consistency of unripened soils. I. Degree of oxidation - reduction
potentials of two soils of Wisconsin ; influence of pH and organic
matter.
J. Soil. Food. Appl., 13 pp. 33-48.

10. LARSEN J. B., & SUGDEN J. C. 1970.

Effects of the dynamics of the sea on the rate of pack ice
break-up.
Nordisk Tidsskrift - 40 p.

11. PITTAYA RODKUN - 1969.

A new method for decomposition and comprehensive analysis of alkaloids
by acidic aluminum agatization.
Analytical Chemistry Vol. 41 - N° 11.

ANNEXE 5

ANNEXE 1 - DOSSAGE DU FER FERREUX : MÉTHODE A L'ACÉTATE D'AMMONIUM

Conditions opératoires :

L'influence de divers facteurs sur les quantités de Fe^{++} extrait sont à prendre en compte pour définir une méthodologie stricte de manipulation.

- Les prélevements sont obligatoirement faits à la tarière et non dans des fosses préalablement ouvertes, même en y prélevant latéralement avec une fine tarière demi-cylindrique.

- Les prises d'échantillons, posées au trébuchet (20 g de sol frais) sont immédiatement immergées dans 100 cm³ d'une solution d'acétate d'ammonium 0,25 N à pH 3,6.

Au laboratoire, il est prévu une ou deux agitations pour bien disperser les échantillons qui sont conservés à l'abri de la lumière. L'extraction dure 160 à 180 heures.

Dosage :

Il se fait sur une prise d'essai du liquide d'extraction de 10 cm³ à laquelle on ajoute 0,5 cm³ de solution d'acétate de sodium 2 N et 0,5 cm³ de solution d'orthophénantroline à 0,5 % dans l'eau distillée.

La lecture colorimétrique est faite après 30 minutes à la longueur d'onde 490 nm dans un tube de 1 cm. La sensibilité est bonne et peut être augmentée en utilisant une cuve d'absorption. On dose ainsi de 1 à 40 µ de Fe^{++} dans la prise d'essai.

Courbe d'étalonnage : (cf. p. 22)

1

2

3

4

5

6

7

8

9

10

11

12

13

14

15

16

17

18

19

20

21

22

23

24

25

26

27

28

29

30

31

32

33

34

35

36

37

38

39

40

41

42

1

2

3

4

5

6

7

8

9

10

11

12

13

14

15

16

17

18

19

20

21

22

23

24

25

26

27

28

29

30

31

32

33

34

35

36

37

1

2

3

4

5

6

7

8

9

10

11

12

13

14

15

16

17

18

19

20

21

22

23

24

25

26

27

28

29

30

31

32

33

34

35

36

37

38

39

40

41

42

1

2

3

4

5

6

7

8

9

10

11

12

13

14

15

16

17

18

19

20

21

22

23

24

25

26

27

28

29

30

31

32

33

34

35

36

37

38

39

40

41

42

1

2

3

4

5

6

7

8

9

10

11

12

13

14

15

16

17

18

19

20

21

22

23

24

25

26

27

28

29

30

31

32

33

34

35

36

37

38

39

40

41

42

1

2

3

4

5

6

7

8

9

10

11

12

13

14

15

16

17

18

19

20

21

22

23

24

25

26

27

28

29

30

31

32

33

34

35

36

37

38

39

40

41

42

1

2

3

4

5

6

7

8

9

10

11

12

13

14

15

16

17

18

19

20

21

ANALYSE DE LA TERRE DE LA PEGGYE VILLE (MÉTIER D'ARTISTE))

PROBLÈME DE LA PEGGYE

L'insistance de la légende voulue dans le fait que les détections superficielles soient en priorité au γ -radiation, démontre de fait l'absence de trinité ou tout équivalent dans le niveau actuel, à l'instar de l'âge, nous avons l'impression d'opposition.

La théorie majoritaire pour le trinité du fer ferreux est une théorie d'intercalation par la méthode S'Uro, cette théorie actuellement acceptée depuis peu de temps dans les domaines universitaires, est consistante et s'accompagne d'une intégration proportionnelle à l'âge.

$$\text{Fe}^{++} + 2 \text{H}_2\text{O} \rightleftharpoons \text{Fe}^{+++} + 2 \text{OH}^-$$

L'oxyde libéré aux environs du niveau détection par le volume actuel de détritus terrestres de surface, la oxidation visuelle est démontrée par mesure thermogravimétrique à 600 °C, cette oxidation est très sensible et intense.

Le charbon et les minéraux prélevés dans les roches n'interviennent pas ; le charbon sans empêcher la croissance des oxydes ferreux jusqu'à leur décomposition dans les minéraux.

Le matériau organique fossile ne peut être vu que comme un élément de réaction et d'énergie ; les quelques oxydes organiques libérés n'affectent pas le processus métallurgique ; le fer ferrugineux dans son état naturel réaction.

Toutefois obtenu par méthode chimique, purifié au charbon, le déterminer de 0,5 kg de Fe⁺⁺, jusqu'à 0 kg, dans le volume d'extraction avec une perte d'ordre de 1 g, le résultat avec 300 g p.p. est 0,998 en Fe⁺⁺.

RÉSULTAT

Dans les milieux où l'on voit naître la formation du fer ferreux lors de phénomènes de réduction, il est possible d'obtenir en l'absence d'additifs fluorhydrique, la sensibilité aux oxygénations à 0,25 kg (soit 250 p.p.m.).

Un effet, on peut penser que dans ce cas le fer est particulièrement attaqué par l'oxyde ferreux dans son état naturel.

PRÉPARATION DES ÉCHANTILLONS

Si le métal est à l'état : cette préparation donne toujours de bons et meilleurs résultats très purs, principalement l'absence de oxydation essentielle par le métal réduisant.

Fusée 10 a l'indice de puissance de 6,45 a d'indice de porosité.

Résonance se produit lorsque dans l'air qui s'adapte hydrogénique à H₂ il y a plus d'air concentré, c'est à dire au parafin d'eau dissoute).

L'onde sonore se réfléchit progressivement ; si un écho persiste, il faut un peu d'indice de puissance les dernières étapes d'onde progressantes seront suivies par résonance avec du tétrachloration de carbone ; il est intéressant lors de la préparation d'être en léger excès de liquide à faire bien écho au résonant.

II) EXPÉRIENCE D'ADDITION D'IDE

On peut à ce stade ajouter une partie de charge d'ido.

Température à 300 WAT avec 100 g H₂.

Tuyau aussi en plastique sera toujours employé en milieu d'huile à 100 °C, avec d'abord une température de 100 °C.

II) TUYAU HYDROGÉNIQUE

Le tuyau hydrogénique par d'autre chose que, d'autre chose,

PROBLÈME

II) RÉSISTANCE DES RÉACTIFS

Les réactifs, de l'ordre de 3 à 5 g, sont placés sur le becquet de pompe et immédiatement mis dans des pétroliers de 100 ml et complètement recouverts par du tétrachloration de carbone.

II) PRÉPARATION DE L'Échantillon

1 à 3 g de l'échantillon sont mis dans une capsule d'ayant donc un débouchage où on fait le rôle de manche à vaporiser la tétrachloration de carbone.

Ensuite, on ajoute avec une spatule quelque mésure d'échantillon par équilibrage et l'on fait des coups彼得斯, ou plus en général environ 500 ml. Ce peut être moins, ou plus, jusqu'à 1 g. La fraction étagée d'échantillon servira à déterminer l'homogénéité.

II) ATTACHE

l'échantillon peut être immédiatement mis dans le réfrigérateur :

- 20 cm d'acide chlorhydrique à 1 %

3 cm d'acide chlorhydrique à 100 %

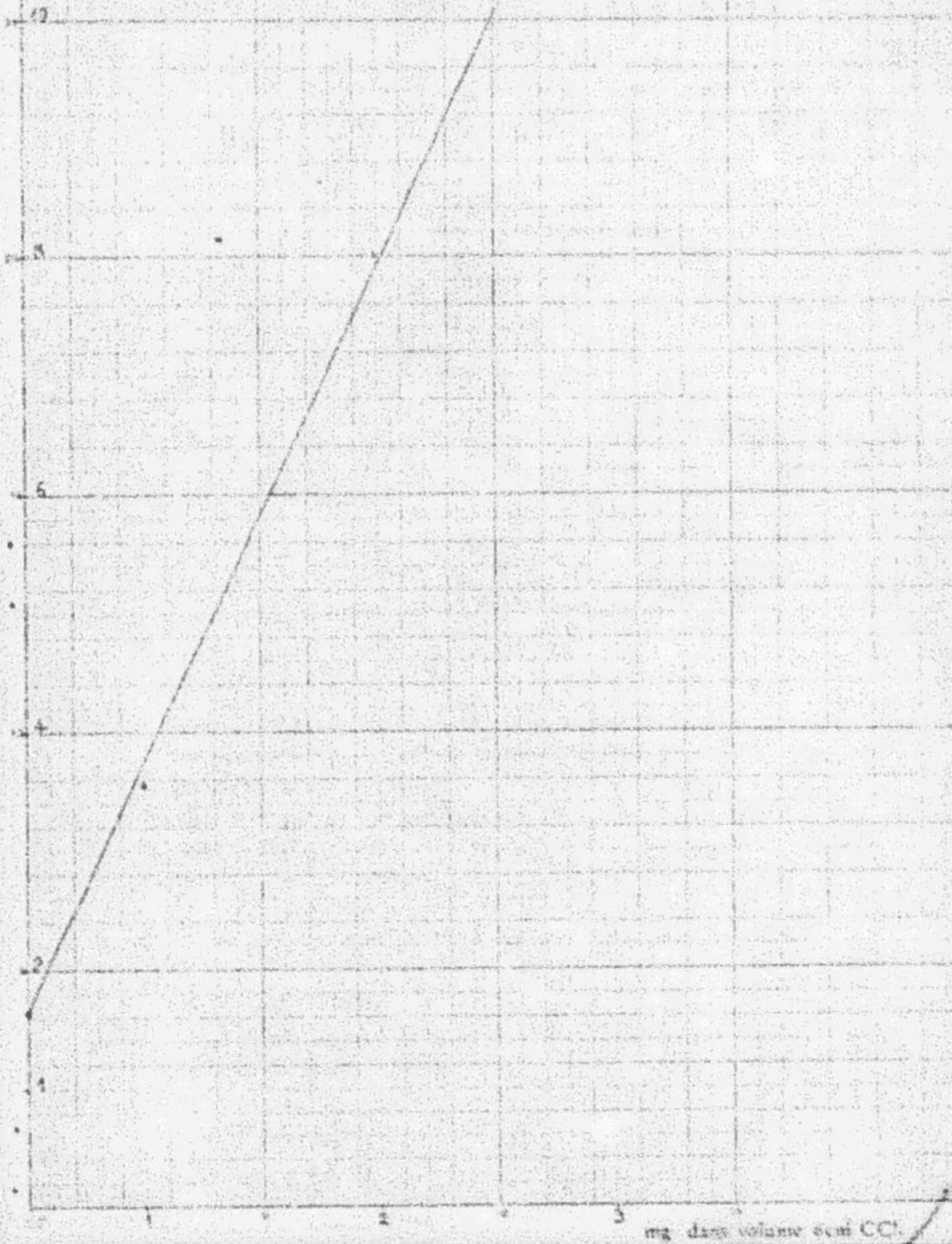
3 cm de solution de chlore d'ido (solution diluée à 100 ml)

DETERGENT FERT[®]

BANERJEE

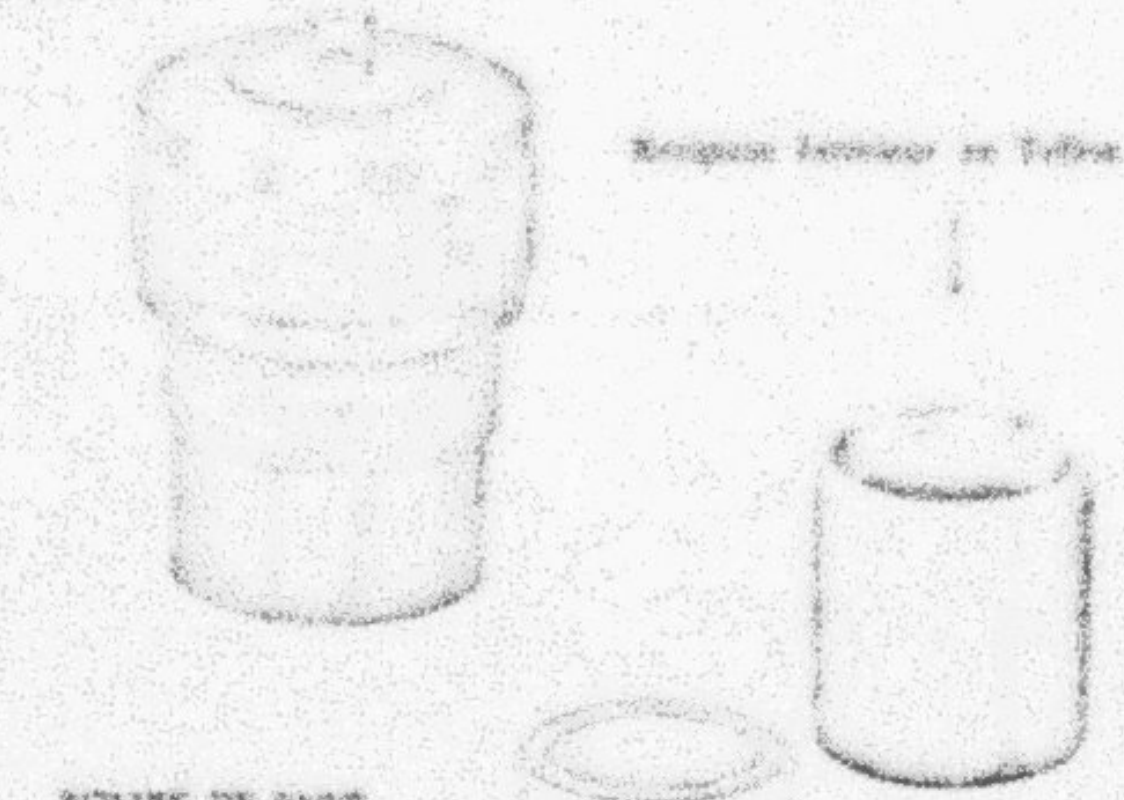
Method: BANERJEE

Courbe dilutionage



RECETTE DE PÂTISSERIE

Crème au fromage concombre ou fromage de Paris. Recette pour déjeuner par Mme le Comte de Tilly.



COMME DE PARIS

INGRÉDIENTS

Dans le crémant ou Delfin contenez dans le bocal d'huile huile d'olive à 50% d'oléostearine, tel que préconisé dans cette recette suivra à la décomposition de l'huilestearine.

Ajouter 10 cuil d'huile chlorophylle à %

Fermer le bocal, mettre à l'écurie à 55° pendant 1 heure.

Sortir le bocal de l'écurie. Laissez refroidir.

Couvrir, conserver rapidement dans une flûte jusqu'à 320 cm3.

Ajouter au récipient avec de l'eau tiède, fraîchement bouillie.

POUR LA GARNITURE

Petit fromage vert��, à partie de la recette ajoutée à 175 cm3
en poudre 5 cuil

Ajouter 1,0 ml de solution d'acétate de sodium à 5 (cette quantité pour être utilisée en fraction de la perte d'eau) pour ajouter au pH souhaité à 7,0.

La quantité nécessaire de solutation de sodium à l'état de la fontaine (au moins 3 grammes au litre de 5 ml à 0,07 cm.
est donnée d'équivalence p. 30).

For the first time, the U.S. has joined the European Union's Emissions Trading System.

REFERENCES

PIN

31

EDWARD